

## К ВОПРОСУ О ХОЛЛОВСКОЙ НЕУСТОЙЧИВОСТИ В ПРОТОЗВЕЗДНЫХ ДИСКАХ

© 2021 г. В. Ю. Захаров<sup>1\*</sup>, Т. Г. Чернова<sup>1</sup>

<sup>1</sup>Московский государственный технический университет им. Н.Э. Баумана, Москва, Россия

Поступила в редакцию 05.04.2021 г.

После доработки 07.07.2021 г.; принята к публикации 05.08.2021 г.

В рамках холловской магнитной гидродинамики рассмотрены малые возмущения протозвездного диска, имеющего вертикальную и азимутальную компоненты магнитного поля. Аналитически исследовано дисперсионное уравнение. Получены достаточное условие устойчивости однородного состояния и диапазоны для скоростей линейных волн трех типов. Показано, что неустойчивыми могут быть только волны с большими фазовыми скоростями. Исследовано влияние на неустойчивость параметров невозмущенного состояния и угла распространения линейной волны.

*Ключевые слова:* магнитная гидродинамика, магнитное поле, дисперсионное уравнение, холловская неустойчивость.

DOI: 10.31857/S0320010821080040

### ВВЕДЕНИЕ

Проблема магнитогидродинамических (МГД) неустойчивостей дифференциально вращающегося газа в различных постановках рассматривалась в ряде работ (см., например, Бальбус и др., 1991, 2001; Уордл, 1999; Пандей и др., 2008; Песса и др., 2005). В (Бальбус и др., 1991) изучалась магниторотационная неустойчивость, необходимым условием которой являлось уменьшение частоты вращения диска с увеличением радиальной координаты. В работах (Уордл, 1999; Бальбус и др., 2001; Пандей и др., 2008) рассматривались неустойчивости альфвеновских возмущений, причем в случае слабоионизованной плазмы протозвездных дисков была выяснена важная роль эффектов холловского тока, связанного с различием в движении ионов и электронов вследствие отличия в частотах их столкновений с частицами нейтрального газа. В (Песса и др., 2005) было показано, что наличие в диске достаточно сильного азимутального магнитного поля может приводить к развитию двух новых неустойчивостей магнитозвуковой волны. В работах (Бонанно и др., 2006, 2007, 2008а,б) изучалась неустойчивость сжимаемых МГД-волн, проявляющаяся в дисках, имеющих одновременно азимутальную и радиальную компоненты магнитного поля. В (Штемлер и др., 2007; Ливертс и др., 2007) была предсказана возможность существования еще одного вида неустойчивости магнитозвуковых волн, названной авторами холловской.

Неустойчивость возникает в протозвездных и протопланетных дисках, имеющих неоднородности радиального распределения магнитного поля и плотности. В (Ливертс и др., 2007) было показано, что если магнитное поле перпендикулярно плоскости диска, то неаксисимметричные возмущения, распространяющиеся вдоль азимута, оказываются неустойчивыми. Механизм неустойчивости связан с появлением в среде холловской волны, вызывающей конвективный перенос магнитного поля. В работе Прудских (2012) в рамках холловской магнитогидродинамики рассматривались возмущения протозвездного диска при отсутствии неоднородностей в распределении плотности вещества. Предполагалось, что магнитное поле содержит азимутальную и вертикальную компоненты, а волновой вектор флуктуаций содержит только азимутальную компоненту. Электронная проводимость вдоль силовых линий предполагается высокой, а движение нейтрального газа и ионов совместным. Такое приближение справедливо во внешних хорошо проводящих областях дисков с плотностью нейтральных частиц  $n_n \sim 10^{12} - 10^{14} \text{ см}^{-3}$  (Прудских, 2012). Было получено дисперсионное уравнение, и на основе его численного анализа показана возможность неустойчивости линейных волн, изучена зависимость инкремента неустойчивости от параметров невозмущенного состояния.

В настоящей работе аналитически изучено дисперсионное уравнение из работы Прудских (2012),

\*Электронный адрес: vladiyuz@mail.ru

получено достаточное условие устойчивости однородного состояния, изучено влияние параметра холла и других параметров на устойчивость.

### ОСНОВНЫЕ УРАВНЕНИЯ И ДИСПЕРСИОННОЕ УРАВНЕНИЕ

В работе Прудских (2012) рассматривалась задача об устойчивости протозвездного диска, частота вращения которого  $\Omega = \Omega(r)$  зависит только от расстояния до оси вращения и в состоянии равновесия азимутальная невозмущенная скорость среды равна  $\mathbf{V}_\theta = \mathbf{e}_\theta \Omega r$ . Система МГД-уравнений имеет вид (Прудских, 2012)

$$\rho \frac{d\mathbf{V}}{dt} = \frac{1}{c} [\mathbf{J} \times \mathbf{B}] - \nabla P + \rho \mathbf{g}, \quad (1)$$

$$\frac{\partial \mathbf{B}}{\partial t} = \text{rot} [\mathbf{V} \times \mathbf{B}] - \text{rot} \frac{\mathbf{J} \times \mathbf{B}}{en_e}, \quad (2)$$

$$\frac{\partial \rho}{\partial t} + \text{div} (\rho \mathbf{V}) = 0, \quad (3)$$

$$\mathbf{J} = \frac{c}{4\pi} \text{rot} \mathbf{B}, \quad (4)$$

где  $\rho$ ,  $\mathbf{V}$  и  $P$  — плотность, скорость и давление плазмы,  $\mathbf{g} = (-g, 0, 0)$  — вектор напряженности гравитационного поля. Второе слагаемое справа в уравнении (2) описывает холловский ток. Предполагается, что невозмущенное магнитное поле  $\mathbf{B}_0 = (0, B_{\theta 0}, B_{z0})$  содержит азимутальную и аксиальную компоненты, а распределение плотности и магнитное поле  $\mathbf{B}_0$  в диске считаются постоянными и не зависящими от радиальной координаты.

В работе Прудских (2012) в рамках системы (1)–(4) рассматривались малые возмущения однородного состояния. Предполагалось, что возмущение любой из переменных системы в цилиндрической системе координат имеет вид

$$A(\theta, t) = A_0 \exp i(m\theta - \omega t). \quad (5)$$

Получено дисперсионное уравнение для безразмерной частоты  $W$  линейных волн, которое для удобства можно записать в виде

$$\begin{aligned} W^6 - A_4 W^4 + A_2 W^2 - A_0 &= 0, \quad (6) \\ A_4 &= 1 + (1 + \beta + \sin^2 \theta) K^2 + \\ &+ K^4 H^2 \sin^2 \theta \cos^2 \theta, \\ A_2 &= \left\{ 1 + (1 + 2\beta) K^2 + \right. \\ &+ \left. \left[ \frac{5}{2} + (1 + \beta K^2) H \right] H K^2 \cos^2 \theta \right\} K^2 \sin^2 \theta, \\ A_0 &= \beta K^6 \sin^4 \theta, \end{aligned}$$

где  $W = \frac{\omega - m\Omega}{\Omega}$  — безразмерная частота,  $K = \frac{kV_A}{\Omega}$  — безразмерный волновой вектор,  $k = \frac{m}{r}$  — азимутальный волновой вектор,  $V_A = B_0 / \sqrt{4\pi\rho_0}$  — альфвеновская скорость,  $\beta = \frac{c_S^2}{V_A^2}$ ,  $c_S$  — скорость звука,  $\theta$  — угол между нормалью к диску и направлением невозмущенного магнитного поля ( $B_{\theta 0} = B_0 \sin \theta$  и  $B_{z0} = B_0 \cos \theta$ ),  $\omega_{ciz} = \frac{eB_{z0}}{m_i c}$  — ионная циклотронная частота в поле  $B_{z0}$ ,  $\omega_{cz} = \omega_{ciz} \left( \frac{\rho_i}{\rho} \right)$ , параметр  $H = \frac{\Omega}{\omega_{cz}}$  учитывает эффект холловского тока,  $\rho_i$  — массовая ионная плотность.

### АНАЛИЗ ДИСПЕРСИОННОГО УРАВНЕНИЯ

Уравнение (6) является бикубическим многопараметрическим уравнением. Наличие у уравнения (6) трех положительных корней будет гарантировать наличие трех симметричных отрицательных корней и устойчивость однородного состояния. Изменение параметров  $K$ ,  $\beta$ ,  $H$ ,  $\theta$  влияет на величину и количество действительных корней уравнения (6).

Перепишем уравнение (6) в виде

$$f(W) = g(W), \quad (7)$$

где

$$\begin{aligned} f(W) &= (W^2 - K^2 \sin^2 \theta) \times \\ &\times [W^4 - W^2 (1 + (1 + \beta) K^2) + \beta K^4 \sin^2 \theta], \\ g(W) &= H K^4 \sin^2 \theta \cos^2 \theta W^2 \times \\ &\times \left[ H W^2 - \frac{5}{2} - (1 + \beta K^2) H \right]. \end{aligned}$$

Представление дисперсионного уравнения в виде (7) уже использовалось авторами для удобства его аналитического исследования, исходя из геометрических свойств функций  $f(W)$  и  $g(W)$  (Захаров и др., 2015). По количеству общих точек этих функций можно судить о количестве действительных корней дисперсионного уравнения (6). В частных случаях:  $\sin \theta = 0$ ,  $\cos \theta = 0$ ,  $H = 0$ , уравнение (7) всегда имеет шесть действительных корней с учетом их кратности.

Выясним взаимное расположение графиков четных функций  $f(W)$  и  $g(W)$  в общем случае:  $\sin \theta \neq 0$ ,  $\cos \theta \neq 0$ ,  $H \neq 0$ , при положительных значениях  $W$ . Видно, что функция  $f(W)$  всегда

имеет три положительных корня  $W_1 < W_2 < W_3$  ( $W_2^2 = K^2 \sin^2 \theta$ ).

Корни  $W_1$  и  $W_3$  определяются биквадратным множителем в квадратных скобках функции  $f(W)$  и могут быть выписаны в явном виде. С учетом неравенства  $f(0) < 0$  можно схематично изобразить график  $f(W)$  для положительных значений  $W$  (рис. 1). Помимо корней у функции  $f(W)$  есть еще характерная точка  $W_*$  ( $W_*^2 = 1 + \beta K^2$ ), которая всегда расположена между  $W_1$  и  $W_3$ . Поэтому имеет место тройное неравенство

$$W_1^2 < \min \{W_2^2, W_*^2\} < \max \{W_2^2, W_*^2\} < W_3^2.$$

Взаимное расположение значений  $W_*$  и  $W_2$  определяется знаком выражения

$$W_*^2 - W_2^2 = 1 + K^2 (\beta - \sin^2 \theta).$$

Случай  $W_*^2 \leq W_2^2$  реализуется при

$$1 + \beta K^2 \leq K^2 \sin^2 \theta, \quad (8)$$

что может выполняться при  $\beta < 1$  и достаточно больших значениях  $K^2$  и углах  $\theta$  таких, что  $\sin^2 \theta > \beta$ .

Случай  $W_*^2 > W_2^2$  реализуется при

$$1 + \beta K^2 > K^2 \sin^2 \theta, \quad (9)$$

что всегда выполняется при  $\beta \geq 1$  и любых значениях  $K$  и углов.

Функция  $g(W)$  всегда имеет нулевой корень второй кратности и положительный корень  $W_{**}$ :

$$W_{**}^2 = 1 + \beta K^2 + \frac{5}{2H} > W_*^2.$$

На рис. 1а,б изображены графики функций  $f(W)$  и  $g(W)$  для случая  $W_*^2 \leq W_2^2$  (рис. 1а) и  $W_*^2 > W_2^2$  (рис. 1б).

На рис. 1а,б изображены случаи устойчивости, когда  $g(W_3) \geq 0$  или

$$W_{**}^2 \leq W_3^2. \quad (10)$$

В этом случае графики  $f(W)$  и  $g(W)$  всегда имеют три общих точки на положительной полуоси  $W$  (степень функции  $g(W)$  меньше степени  $f(W)$ , поэтому общая точка с большим значением  $W$  всегда будет существовать). При этом из рисунка нетрудно увидеть диапазоны для значений корней дисперсионного уравнения (7). Если обозначить положительные корни (7)  $\tilde{W}_1 < \tilde{W}_2 < \tilde{W}_3$  в порядке возрастания, то для меньшего корня  $\tilde{W}_1$   $\tilde{W}_1^2 < W_1^2$ , причем с увеличением параметра Холла значение  $\tilde{W}_1$  растет. Для второго по величине корня  $\tilde{W}_2$  уравнения (7)  $\min \{W_2^2, W_*^2\} < \tilde{W}_2^2 < W_{**}^2$ .

Для наибольшего по величине корня  $\tilde{W}_3$  уравнения (7) всегда имеет место неравенство  $\tilde{W}_3^2 > W_3^2$ . При стремлении параметра Холла к нулю значения корней  $\tilde{W}_1, \tilde{W}_2, \tilde{W}_3$  дисперсионного уравнения (7) стремятся к  $W_1, W_2, W_3$  соответственно.

При нарушении неравенства (10):

$$W_{**}^2 > W_3^2 (g(W_3) < 0) \quad (11)$$

возможны как случай устойчивости, так и неустойчивости. На рис. 1в изображен случай устойчивости. Он реализуется при небольших значениях параметра Холла, которые гарантируют прижатие графика функции  $g(W)$  к оси  $W$  и наличие двух общих точек графиков  $f(W)$  и  $g(W)$  на интервале  $(W_2, W_3)$ . Увеличение значения  $H$  может привести к тому, что графики  $f(W)$  и  $g(W)$  не будут иметь общих точек на интервале  $(W_2, W_3)$  (рис. 1г). Однако с дальнейшим ростом  $H$  корень

$$W_{**} = \sqrt{1 + \beta K^2 + \frac{5}{2H}} \rightarrow W_* = \sqrt{1 + \beta K^2}$$

и случай (11) превратится в случай устойчивости (10).

Таким образом, неравенство (10) является достаточным условием устойчивости. Условие (10) нетрудно переписать в виде

$$\left(\frac{5}{2H}\right)^2 + \frac{5}{2H} (1 + \beta K^2 - K^2) - K^2 (1 + \beta K^2 \cos^2 \theta) \leq 0 \quad (12.1)$$

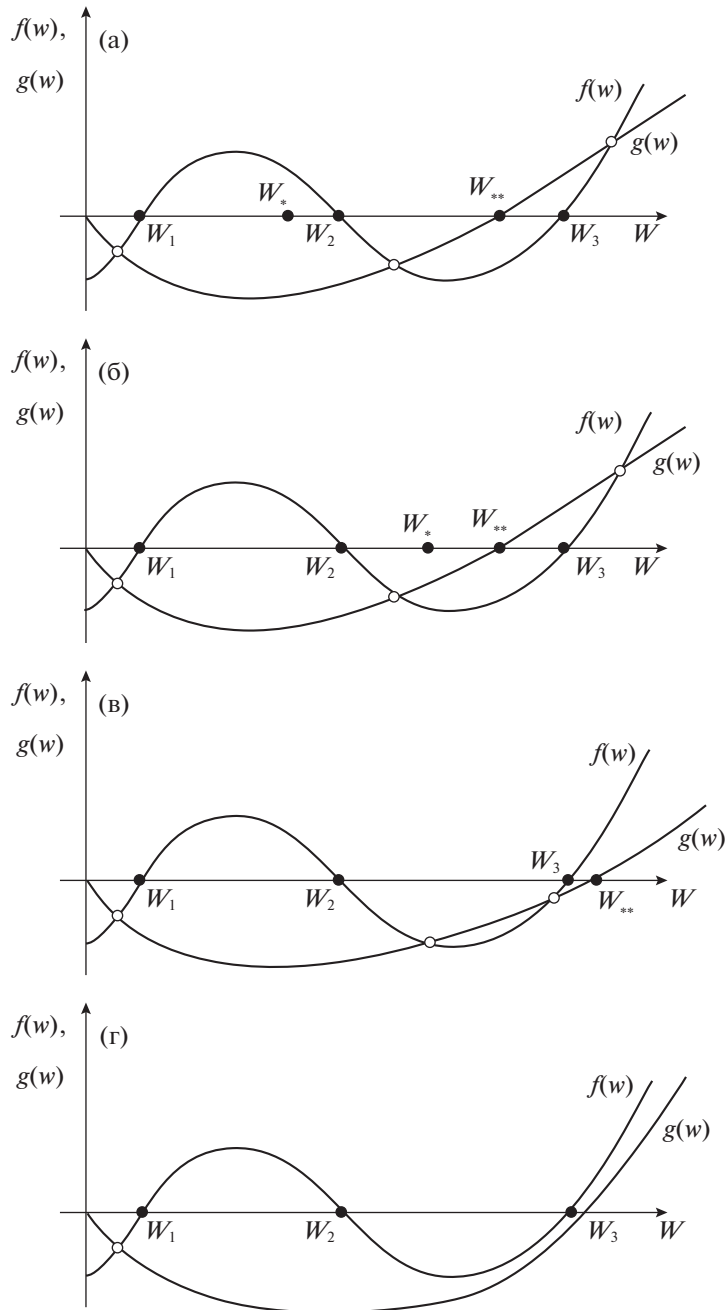
или

$$\left(\frac{5}{2H} - K^2\right) \left(\frac{5}{2H} + 1 + \beta K^2\right) + \beta K^4 \sin^2 \theta \leq 0. \quad (12.2)$$

Из (12.1) следует, что при достаточно больших значениях параметра Холла два первых слагаемых будут стремиться к нулю, и левая часть станет отрицательной. Также неравенство (12.2) будет выполняться, начиная с некоторого достаточного большого значения  $K$ .

В работе Прудских (2012) численный анализ дисперсионного уравнения проводился для характерных значений протозвездных дисков  $H \sim 1 - 10$ ,  $\beta \sim 0.5 - 2$ , характерное значение частоты вращения на расстоянии 1 а.е. от центра вращения составляет  $\Omega \sim 10^{-7}$  Гц, а величина магнитного поля  $B_0 \sim 0.1$  Гс. Также была проведена оценка инкремента неустойчивости  $\text{Im } W$  и показано, что его максимальное значение не превосходит 0.06.

Из неравенств (12) можно получать оценки одного из входящих в них параметров через заданные



**Рис. 1.** Взаимное расположение функций  $f(W)$  и  $g(W)$ . Графики (а), (б), (в) соответствуют случаям устойчивости, график (г) — случаю неустойчивости.

другие. Например, для характерных значений  $H = 5$ ,  $\beta = 1$ ,  $\theta = \frac{\pi}{4}$  получим, что неустойчивость возможна только при  $K < 0.76$ . Поскольку  $K = \frac{kV_A}{\Omega}$  и  $k = \frac{m}{r}$ , то при характерных значениях на расстоянии  $r = 1$  а.е.  $V_A \approx 10^4$  см/с,  $\Omega \sim 10^{-7}$  Гц можно получить оценку азимутального числа неустойчивого возмущения  $m \leq 110$ , совпадающую с оценкой  $m \approx 30-100$  (Прудских, 2012).

### ЗАКЛЮЧЕНИЕ

Анализ рис. 1а–г и неравенств (12.1), (12.2) позволяет сделать следующие выводы относительно возможности неустойчивости однородного состояния плазмы:

1) неустойчивость может появляться только при нарушении неравенства (12.1), которое является достаточным условием устойчивости;

2) на рис. 1 видны интервалы, в которых изменяются фазовые скорости линейных волн. Волна

с меньшей скоростью всегда устойчива. Неустойчивыми могут быть только две волны с большими фазовыми скоростями;

3) при нарушении неравенств (12.1), (12.2) среди значений параметра Холла может существовать ограниченный слева и справа промежуток, в котором возможна неустойчивость в зависимости от значений других параметров  $K$ ,  $\beta$ ,  $\theta$ ;

4) из вида функции  $g(W)$  следует, что если при  $\theta = 45^\circ$  будет устойчивость (коэффициент  $\cos^2 \theta \sin^2 \theta$  максимален и равен 0.5), то и при остальных значениях угла  $\theta$  также будет устойчивость. Таким образом, неустойчивость наиболее эффективно развивается при  $\theta \approx 45^\circ$ ;

5) так как параметр  $\beta$  в уравнение (8) входит в виде произведения  $\beta K^2$ , то уменьшение плазменного  $\beta$  приводит к увеличению интервала неустойчивости длин волн.

Выводы 3)–5) согласуются с выводами Прудских (2012), сделанными на основе численного анализа дисперсионного уравнения и построения диаграмм областей неустойчивости при некоторых фиксированных значениях параметров.

Согласно работе Прудских (2012), обнаруженная холловская неустойчивость отличается от рассмотренных в (Штемлер и др., 2007; Ливертс и др., 2007) и может проявляться в астрофизических дисках, не содержащих градиенты плотности и магнитного поля нулевого порядка. В протопланетных дисках рассмотренная неустойчивость может

приводить к дроблению кольцевого элемента на отдельные фрагменты и образованию планетезималей.

#### СПИСОК ЛИТЕРАТУРЫ

1. Бальбус и др. (S.A. Balbus and J.F. Hawley), *Astrophys. J.* **376**, 214 (1991).
2. Бальбус и др. (S.A. Balbus and C. Terquem), *Astrophys. J.* **552**, 235 (2001).
3. Бонанно и др. (A. Bonano and V. Urpin), *Phys. Rev. E* **73**, 066301 (2006).
4. Бонанно и др. (A. Bonano and V. Urpin), *Astrophys. J.* **662**, 851 (2007).
5. Бонанно и др. (A. Bonano and V. Urpin), *Astron. Astrophys.* **480**, 27 (2008a).
6. Бонанно и др. (A. Bonano and V. Urpin), *Astron. Astrophys.* **488**, 1 (2008b).
7. Захаров В.Ю., Чернова Т.Г., Степанов С.Е., *Физика плазмы* **41**, 386 (2015).
8. Ливертс и др. (E. Liverts, M. Mond and A.D. Chernin), *Astrophys. J.* **666**, 1226 (2007).
9. Пандей и др. (B.P. Pandey and M. Wardle), *MNRAS* **385**, 2269 (2008).
10. Песса и др. (M.E. Pessah and D. Psaltis), *Astrophys. J.* **628**, 879 (2005).
11. Прудских В.В., *Астрон. журн.* **89**, 545 (2012).
12. Уордл (M. Wardle), *MNRAS* **307**, 849 (1999).
13. Штемлер и др. (Yu.M. Shtemler, E. Liverts, and M. Mond), *Astrophys. J.* **665**, 1371 (2007).